

洪水流の理論に寄する研究

九州電力K.K.土木部 村瀬次男

1. まえがき 本論文の主なる研究成果を要約すると、次の通りである。

(1) 洪水流(不定流)を自然界における自動制御システムと考え、その理論構造を示した。

(2) 新洪水追跡法を提案し、マスキンガム法との関連を示した。

(3) マスキンガム法の原理について別解釈を行ない、その意義を重評価し、洪水流の本質を明らかにした。

(4) 降雨流出の新モデルを提案し、Prasad のモデルとの相異を示した。

(5) 河川蛇行の発生メカニズムを説明するための具体的アプローチ方法を示した。

2. 洪水流の自動制御システムの理論構造 著者は、洪水流(不定流)を、河道を含めて、図-1のような自動制御システムと考える。ここで、制御部 G_C を考えることは極めて重要な意味で、水の慣性および損失係数パラメータと見えること意味する。自動制御システムの基本式は次の通りである。

$$\Delta H_1 = \frac{1}{F_1 S} (\Delta \theta_0 - \Delta Q_1) \quad \dots \dots (1)$$

$$\Delta Q_1 = G_{C1} (\Delta H_1 - \Delta H_2) \quad \dots \dots (2)$$

$$G_{C1} = 1 / \left(\frac{\Delta x_1}{q_f} S + \alpha_1 \right) \quad \dots \dots (3)$$

etc.

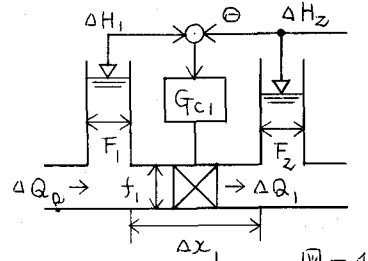


図-1

ただし、 α : 損失係数、 $S \equiv d/dt$

(1)～(3) 式は、すなはち、 F および α が一定である場合、 Δx および H の実数であるから、 $\Delta \theta$ も Δx の制約のもとで直線的に変化しない。図-2は、図-1の自動制御システムの「ロック線図」で、カスケード制御系の運転であることが判る。ところで、洪水流の Δx 区間では、流入量と流出量との間に線形関係がある。これは、実河川での実測結果からいえることである。したがって、著者は、(1)～(3) 式の $\Delta \theta$ の制約からの解

放を考へ、少なくとも実河川の水路(特に、中、下流部)では、

$$\Delta F = T(x, \Delta x) \quad \dots \dots (4)$$

$$\Delta x / (q_f) \approx 0 \quad \dots \dots (5)$$

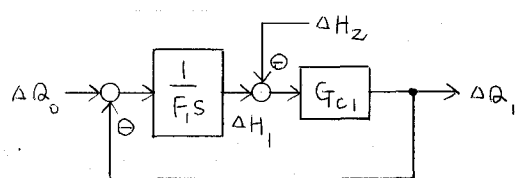


図-2

としてよいと考える。(4) 式のためには、

水路断面として貯留と流出の別々の機能をもつて断面の秩序を仮定する必要がある。¹⁾ この仮定の分析は次回にするが、たゞ、このような流出断面形は、²⁾ 常水路の断面の流速分布の系に適合していることを指摘しておきたい。³⁾ (5) 式は、不定流の基礎方程式の速度項を省略することに相当する。図-1における表現は(4) および(5) 式を仮定してこそ正しいのである。

3. 洪水追跡法の新モデルの構造 著者は、洪水流と洪水追跡法との関係は、自動制御システムと自動制御モデルとの関係であると考える。いま、図-1および2の自動制御システムから有効な自動制御モデルを創造するには、 ΔH_2 , ΔH_3 , ... の連鎖をどこかで“断ち切り”ワード“制御系にする必要がある。^{*1} この切断が後であればあるほど精度の高いモデル^{*2}をもつた新自動制御モデルの構造は複雑となる。さて、著者は、 ΔH_3 のところまで断ち切った新自動制御モデルを提案する。その伝達係数(Δx 区間の)は次のようになる。

$$\frac{\Delta Q_1}{\Delta Q_0} = \frac{T_2 S + 1}{T_1 T_2 S^2 + [(1 + \alpha_2) \cdot T_1 + T_2] S + 1} \quad \dots \dots \dots (b) *$$

(b) 式なら、新モデルは2次線形であることが判る。図-3および4に著者のモデルとそのブロック線図を示す。また、(b)式における、

$$T_2 \ll (1 + \frac{\alpha_2}{\alpha_1}) \cdot T_1 \quad \dots \dots \dots (7)$$

$$\alpha_2/\alpha_1 \ll 1 \quad \dots \dots \dots (8)$$

とすると、

$$\frac{\Delta Q_1}{\Delta Q_0} = \frac{1 - \gamma T S}{(1 - \gamma) T S + 1} \quad \dots \dots \dots (9)$$

$$\gamma \equiv \alpha_2 / (\alpha_1 + \alpha_2) \quad \dots \dots \dots (10)$$

$$T = (1 + \frac{\alpha_2}{\alpha_1}) \cdot T_1$$

$$= (\alpha_1 + \alpha_2) \cdot F_1 \quad \dots \dots \dots (11)$$

となる。(9)～(11)式は次節で述べるマスキシガム法のモデルをもつものであるから、マスキシガム法が著者の洪水追跡法の近似的方法であることが判る。

4. マスキシガム法のモデル構造と洪水流の本質 マスキシガム法は、洪水追跡の実用計算法として著名である^{*3}、その理論的基礎が明確でない。著者は、洪水流は系統導流であつて、図-5のように一種のポンプ作用(或いは、呼吸作用といつてもよい)があり、これがマスキシガム法の原理であると考える。ポンプ作用は、 Δx 区間で、

$$\Delta Q_0 \propto \Delta H \quad \dots \dots \dots \dots \dots \dots \dots \dots (12)$$

$$\Delta Q \propto \Delta H \quad \dots \dots \dots \dots \dots \dots \dots \dots (13)$$

のようにな線形であると仮定する。(たがつて、この場合の基本式は次のようになる。

$$\Delta H = \frac{1}{F_1 S} \cdot (\Delta Q_0 - \Delta Q) \quad \dots \dots \dots \dots \dots \dots \dots \dots (14)$$

$$\Delta H = a \cdot \Delta Q_0 + b \cdot \Delta Q \quad \dots \dots \dots \dots \dots \dots \dots \dots (15)$$

*₁ 降雨流出モデルとして著者がホルトソンのモデルは ΔH_2 のところまで“断ち切ったモデル”である。

*₂ 下はTの中には潜伏し、これを直接書きなくてよいことが判る。このため、 Δx は或る程度大きくとれる。

$\Rightarrow \theta, a(x, \Delta x), b(x, \Delta x)$

(14) おより (15) 式より ΔH を消去して、

$$\frac{\Delta Q}{\Delta Q_0} = \frac{1 - TS}{(1 - \gamma)TS + 1} \quad \dots \dots \quad (16)$$

$$\gamma \equiv a/(a+b) \quad \dots \dots \quad (17)$$

$$T \equiv (a+b) \cdot F \quad \dots \dots \quad (18)$$

である。(16) ~ (18) 式は、マスキンガム法のモデルの伝達関数(Δx に関する)で、1次線形であることを判る。図-5 および b はマスキンガム法のモデルと

そのブロック線図を示す。
2つめ、

(10) と (11) 式、(11) と (18) 式

をそろそろ比較すると、

$$\begin{aligned} a &= \alpha_2 \\ b &= \alpha_1 \end{aligned} \quad \dots \dots \quad (19)$$

であることを判る。(19) 式は、洪水流を図-1 のような自重制御システムと考えると、図-5 のようなポンプ作用のあるシステムと考えるのとは同様であることを意味する。したがって、前記ポンプ作用の存在(仮定)は理論的には証明されたことになる。

5. 降雨流出の新モデルの構造 3節で述べた著者の洪水追跡モデルによる降雨流出の新自重制御モデルを説明する。図-3 において、

$$\Delta x_1 \gg \Delta x_2 \quad \dots \dots \quad (20)$$

のようになると大きくすると、 T_1 の非線形影響が出てきて無視できない。したがって、

$$T_1 \Delta Q \equiv K \cdot \Delta Q_1^N \quad \dots \dots \quad (21)$$

として、(17) 式の関係と、

$$S^2 \Delta Q_1 \approx 0 \quad \dots \dots \quad (22)$$

であることを考えると、(6) 式は次のようになる。

$$\frac{\Delta Q_1}{\Delta Q_0} = \frac{T_2 S^2}{T_1 T_2 S^2 + K N \cdot (1 + \frac{\alpha_2}{\alpha_1}) \Delta Q_1^N + S + 1} \quad \dots \dots \quad (23)$$

ここで、 T_1, T_2 の線形等価値、 K および N : (21) 式に与え定数

(23) 式は、 Δx が小さな場合の著者の洪水追跡モデルの伝達関数である。そして、この式は降雨流出モデルとしても充分利用できる。この場合は、 ΔQ_1 は有効降水と考えるのである。ところが、Prasad の降雨流出モデルは (23) 式の分子の T_2 のみを 0 (ゼロ) として扱っているが、理論的には正しくないことが判る。これは、貯留行程式によく理屈である。著者のモデルは、図-4 より、

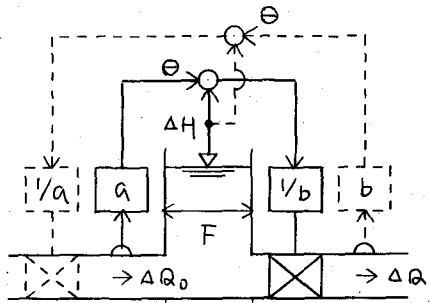


図-5

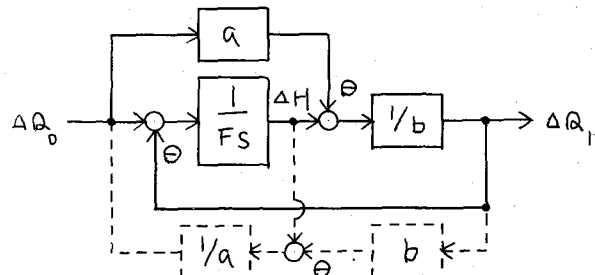


図-6

$$\Delta H_1 = \alpha_1 \Delta Q_1 + \Delta H_2 \quad \dots \dots \quad (24)$$

$$\Delta H_2 = \frac{\alpha_2}{T_2 S + 1} \cdot \Delta Q_1 \quad \dots \dots \quad (25)$$

(たゞ) て、

$$\Delta S_1 \equiv F_1 \cdot \Delta H_1$$

$$= T_1 \left(1 + \frac{\alpha_2 / \alpha_1}{T_2 S + 1} \right) \cdot \Delta Q_1 \quad \dots \dots \quad (26)$$

たゞし、 ΔS : 貯水容量の変分

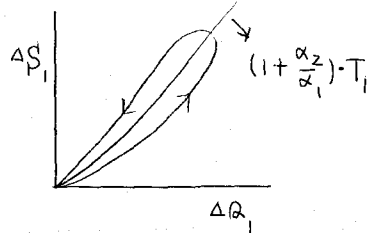


図-1

であるが、 ΔS へ ΔQ の実験式は Prasad の回転式によれば図-1 に示すようになる。これは Prasad の仮定した回転式と近似である。⁴⁾

6. 河川蛇行の発生のメカニズムとアプローチ 最近、河川蛇行の成因に関する議論が盛んであるが、未だ蛇行の発生のメカニズムは未だ明確でない。これを解明するための具体的なアプローチの方法を之よく判別しない。そこで、今日は後者について私見を述べることにする。河川蛇行の成因は多種多様であるが、その不安定問題を考えると、その自重制御システムは概念的には図-8 のように示される。図-8 は、前節まで示した自重制御系とは異なり、同じく自重制御系である。著者は、河川蛇行の発生のメカニズムを解明するには、

(a) ΔQ_0 といふ、ステップ状数 $\Delta Q_0/S$ を与えよ。

(b) 流水系および流域の非線形要素を考慮する。の条件のもとで、

(A) セイユエオホバ互砂礫堆の発生と発達。

(B) 地上化定着。

の2現象を理論的に証明する必要があるもうと考へる。

して、河川蛇行と下の値との関係について言ふと、河川蛇行は冲積平野の中流部で多く見られるのは、そのような河

川では、自重制御作用の大小を示す丁度の値が河川上、下流域よりも中流部で大きいこと、したがって、伝導率もその区間で高次となり、(逆) 水流が不安定になり易いことがわかる。

7. 参考文献 1) Prasad, R.: A nonlinear hydrologic system response model, Proc. of ASCE, Vol. 93, No. HY4, pp. 204~206, 1967. 2) 本間仁: 水理学, 丸善, p. 127, 1967. 3) Linsley, R.K., M.A. Kohler and J.L.H. Paulhus Applied Hydrology, McGraw-Hill, pp. 496~502, 1949. 4) 前出1)と同じ 5) 鹿川登: 河床形態の形成領域と発生機構, 土木学会第26回年次学術講演会講演集, 第2部, 研究討論会資料, 1971. 6) 例えれば、林泰吉: 河川蛇行の成因についての研究, 土木学会論文報告集, No. 180, pp. 63~69, 1970.

*3 既往の研究は、いすれも、系の入力として Δh (或いは、 ΔH) を考へ、(とも) 正弦波に従う。

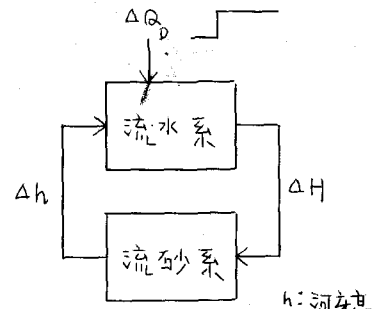


図-8